

급류하천의 에너지 감소와 세굴방지를 위한 Gabion Mattress

배상수 (정회원, 농업기반공사 수문조사처 근무)

이창연 (정회원, 농업기반공사 경북지사 근무)

지홍기 (정회원, 영남대학교 토목도시환경공학부 교수)

1. 서론

사석(riprap)은 그다지 이용가치도 없고 비싼 가격 때문에 설계자들이 별로 요구하지 않기 때문에 이를 대신해 계비온-매트리스와 콘크리트 블록 매트리스 같은 보호공의 사용이 점차 증가하고 있는 추세이다. 콘크리트 블록 매트리스는 폭넓고 다양한 형상, 조도, 단위중량, 케이블 그리고 맞물림(interlocking) 특성들을 가지며, 안정계수를 얻기 위하여 각 제조업자들은 블록에 대한 실험이 종종 요구된다. 계비온-매트리스는 형상, 조도 및 단위중량의 상사와 인접한 구조물이 서로 부착되어 있기 때문에 하나의 안정방정식과 안정계수를 가지므로 수로보호공으로 사용될 기회가 더 많아진다. 이것은 계비온-매트리스 및 콘크리트 블록 매트리스에 대한 추천이 아니라 단순히 두가지 방법들이 여기서 다루어지지 않았었던 이유만 설명하였다. 본 논문의 목적은 2%이하의 바닥경사를 가지는 수로에 수로보호용으로 사용하기 위한 계비온-매트리스의 크기를 결정하기 위한 설계과정을 소개하는 것이다.

2. 제안 설계지침

일반적으로 수로보호공의 계비온-매트리스 설계에서 제안된 지침은 다음 사항들을 근거로 하고 있다.

먼저, 계비온-매트리스 수로보호공의 크기는 홍수조절수로의 수리학적 설계(U.S. Army 1991a)에서 제공된 미육군공병단 사석설계 지침에서 사석이 설계되는 방법과 동일한 수심-평균유속에 근거하게 될 것이다. 그리고 이것은 다양한 수로단면과 수로노선에 대하여 요구되는 계비온-매트리스 수로보호공 두께를 결정하기 위한 더 좋은 방법이 될 것이다.

다음으로, 계비온-매트리스 수로보호공의 안정은 계비온-매트리스 내의 채움석재의 안정에 근거할 것이다. 이 요소는 개개의 석재크기의 범위(100~200mm)가 계비온-매트리스 수로보호공 두께의 범위와 잘 들어맞는다는 것(U.S. Army 1991b)과 계비온-매트리스 수로보호공 두께가 증가하기 때문에 계비온-매트리스 수로보호공 안정이 증가한다는 개념과는 반대이다. 흐름저항의 변화를 야기할 수 있는 철망의 변형에 관한 문제와 철사파괴를 초래할 수 있는 채움석재의 움직임에 관한 문제 때문에 계비온-매트리스 내 현저한 석재의 움직임은 허용되지 않는다. 적어도 두 개 이상의 제조업자들이 한계유속(critical velocity)(어떤 채움석재의 움직임도 없음)과 한계속도(limit velocity)(채움석재의 움직임이 약간 있지만 안정함)와 관련된 허용속도(allowable velocity) 표를 소개했다. 본 논문에서는 어떠한 채움석재의 움직임도 없는 것에 대한 설계지침을 권장하고 소개한다.

굵은입자 안정에 대한 차원해석이 Maynard (1989)에 의해 소개되었으며, 다음 식 (1)과 같이 무

차원비(dimensionless ratios)이다.

$$\frac{D_m}{d} = \text{function of} \left[\left(\frac{\gamma_w}{\gamma_s - \gamma_w} \right)^{0.5} \frac{V}{\sqrt{gd}} \right] \quad (1)$$

여기서, D : 계비온-매트리스 내의 평균채움석재입경(m), d : 수심-평균유속 V에서의 수심(m), V : 수심-평균유속(m/s), γ_w : 물의 단위중량(kg/m³), γ_s : 석재의 단위중량(kg/m³), g : 중력가속도(m/s²)이다.

수심-평균유속은 모든 개수로 단면폭을 가로질러이며 변화하며, 종종 자유표면으로부터 수심의 60% 되는 점의 유속을 측정하거나 또는 자유수면으로부터 수심의

20% 및 80% 깊이에서 유속을 측정하여 이를 평균하여 얻을 수 있다. 평균수로유속을 사용하는 수심-평균유속을 추정하기 위한 방법들은 다음절에서 논의된다.

Simons et al.(1984)에 의해 제공된 모형자료 표 1은 계비온-매트리스 내 석재가 움직이기 시작할 때의 흐름조건들을 보여준다. 모형에서 석재의 단위중량은 2.547kg/m³이고 표 1에서 네가지 실험조건 모두 수로경사는 1%이며, 모난 석재가 계비온-매트리스 내에 사용되었다. 위의 식 (1)에서 무차원비는 Simons et al.(1984)의 모형자료에 대해서 계산되었으며, 그림 1에서 도식되었다.

표 1. 계비온-매트리스 내의 석재 안정

직경(Dm)		크기의 범위		두께		V ^a		d ^a	
mm(1)	in.(2)	mm(3)	in.(4)	cm(5)	in.(6)	m/s(7)	ft/sec(8)	m(9)	ft(10)
38	1.5	25~50	1~2	5.1	2	2.64	8.67	0.55	1.82
38	1.5	25~50	1~2	7.6	3	2.62	8.58	0.58	1.89
44	1.75	38~50	1.5~2	10.2	4	3.02	9.90	0.70	2.30
51	2.0	38~64	1.5~2.5	15.2	6	2.92	9.56	0.72	2.35

^a 채움석재의 움직임이 처음 관찰된 때 흐름조건

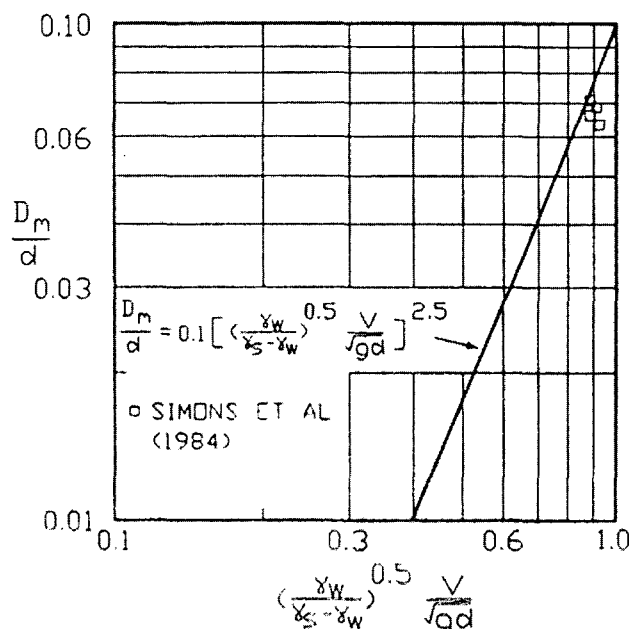


그림 1. 계비온-매트리스 내 채움석재의 안정

4개 자료로 그림 1에서 직선의 방정식을 수립하는 것은 적당하지 않다. 따라서 더 많은 자료를 수집하거나 기존 관계식의 기본형태가 채택되어야 한다. 굽은 입자 안정에 대하여 본 연구에서 적용한 Neill(1967), Bogardi(1978), Pilarczyk(1987), Maynord(1989) 방정식은 다음 식 (2)와 같다.

$$\frac{D_m}{d} = C_s \left[\left(\frac{\gamma_w}{\gamma_s - \gamma_w} \right)^{0.5} \frac{V}{\sqrt{gd}} \right]^{2.5} \quad (2)$$

전단응력 접근법과 같은 그밖에 다른 굽은입자 안정방정식과 위의 식 (2)와의 관계는 Maynord(1989)에 의해서 소개되었다. 홍수조절용 수로의 수리학적 설계(U.S. Army 1991a)는 유속수면곡선(velocity profile), 사면경사각효과(side-slope-angle effects), 안전율(safety factor) 그리고 사석의 안정을 규정하는 사석피복두께(riprap-blanket-thickness) 계수를 통합시키는 위의 식 (2)의 수정식을 제시했다. 이 방정식으로부터 사석피복두께 계수를 생략하면 다음 식 (3)을 얻을 수 있으며, 이 식은 게비온-매트리스 설계에서도 제안된다.

$$D_m = S_f C_s C_v d \left[\left(\frac{\gamma_w}{\gamma_s - \gamma_w} \right)^{0.5} \frac{V}{\sqrt{gdK_l}} \right]^{2.5} \quad (3)$$

여기서, S_f : 안전율(최소값 1.1)

C_s : 게비온-매트리스 내 석재의 안정계수

C_v : 홍수조절용 수로의 수리학적 설계(U.S. Army 1991a)에서 정의된 유속-분포계수

V : 수로제방 보호공 설계에서 V_{ss}

V_{ss} : 수위선과 사면경사 하류사이에서의 수심-평균유속(엄밀히 말하면 사면경사 하류에서 사면경사 상류까지 거리의 20%)

K_l : 사면경사 보정계수(수로바닥의 한계전단과 사면경사의 한계전단과의 비)

Simons et al. (1984)의 자료는 게비온-매트리스 내 석재의 안정에 대해 식 (3)에서 C_s 를 결정할 때 사용되었다. 그리고 Simons et al. (1984) 자료에서

S_f , C_v , K_l 값은 모두 1.0이다. C_s 는 그림 1을 보면 식 (3)에서 값이 0.1이라는 것을 알 수 있으며, 게비온-매트리스 내 채움석재의 크기를 결정할 때 권장된다. 여기서, $C_s = 0.1$ 은 Simons et al. 실험에서 사용된 조건(모난 석재 사용, 최소와 최대 석재크기의 비가 1.5~2.0배)들로 제한된다.

게비온-매트리스 두께는 Simons et al. (1984)의 실험에서 두께는 $1.33D_m \sim 3D_m$ 범위가 된다. 여기서, 최소 게비온-매트리스 두께 $T = 2D_m$ 은 보호되고 있는 수로재료의 강도에 따라 게비온-매트리스 두께 T 를 변화시키기 위하여 매트리스/필터 경계면에서 유속을 추정하는 방법이 개발될 때까지 제안되었다. 매트리스 바닥의 유속 추정방법에서는 석재크기, 석재 등급, 매트리스 두께의 영향도 포함되어야 한다. Simons et al. (1984)은 매트리스/필터 경계면에서 유속을 추정할 수 있는 다음과 같은 방정식을 제시했다. 이 식은 채움석재의 크기에만 관계하고 게비온-매트리스 두께에 대한 관계는 포함하지 않는다.

$$V_b = \frac{1.486}{n_f} \left(\frac{D_m}{2} \right)^{2/3} S^{1/2} \quad (4)$$

여기서, V_b : 매트리스/필터 경계면에서 유속

n_f : 0.02 (필터 fabric)

S : 수로경사

Simons et al. (1984)는 또한 필터섬유(fabric) 바로 아래 인접한 유속은 V_b 의 $1/4 \sim 1/2$ 이 된다고 보고했다. Simons et al. (1984)의 실험들은 대략 $2D_m$ 의 게비온-매트리스 두께에서 실행되었기 때문에 식 (4)는 여기서 제안된 게비온-매트리스 두께 $2D_m$ 에 대해서 매트리스 바닥의 유속 추정하기 위해서 사용될 수 있다. 그러나 수로제방 재료의 강도가 변화함에 따라 게비온-매트리스 두께 $2D_m$ 의 변화량을 결정할 때는 사용될 수 없다. 대부분의 경우 계산된 게비온-매트리스 두께 $T = 2D_m$ 은 표준 게비온-매트리스 두께와 같지 않고 더 큰 게비온-매트리스 두께를 사용하는 것이 일반적이다.

기술 기사

경험적인 유속-분포 계수 C_v 는 안정계수 C_s 를 결정할 때 사용된 직선수로에서 발생하는 연직유속 종단면과 다른 연직유속 종단면에 대하여 설명한다. 사석 보호공 설계에서 C_v 의 최소값은 1이고 수로 만곡부의 외제에 대해서는 $1.283 - 0.2\log(R/W)$ 값이다 (U.S. Army 1991a). 또한 이 값은 계비온-매트리스 설계에서도 사용하도록 제안되었다. 여기서 변수 R 과 W 는 홍수터를 포함하는 간선수로에서 흐름에 대한 수로 중심선의 만곡부 동수반경과 수면폭이다. 그리고 콘크리트 수로의 하류(downstream)와 제방(dikes)의 끝부분(ends) 바로 가까이에서 $C_v = 1.25$ 이다. 이유는 이들 두지점에서 연직유속종단면의 차이 때문이다(U.S. Army 1991a).

그림 2에서 보여준 자연수로에 대한 V_{ss}/V_{avg} 대 R/W 의 도식 (U.S. Army 1991a)은 관측치에 근거한다. V_{avg} : 간선수로에서의 평균수로유속이며, 홍수터 지역은 제외된다. 제형수로에 대한 지침은 홍수조절용 수로의 수리학적 설계(U.S. Army 1991a)에서 소개되었으며, 동일한 R/W 값을 가지는 자연수로 보다 더 작은 V_{ss}/V_{avg} 값을 가진다. 이것은 외제 근처 모래톱(bar)

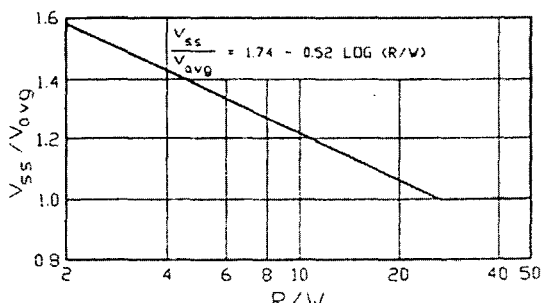


그림 2. 자연수로에서 유속추정

표 2. K_1 에 대한 측면 경사각

측면경사(1)	$K_1(2)$
1V : 1H	0.46
1V : 1.5H	0.71
1V : 2H	0.88
1V : 3H	0.98
1V : 4H or flatter	1.00

지점과 만곡부 융덩이(bend scour) 지점은 자연수로에서 외제부분의 빠른 유속의 결과에 기인하는 경향이 있기 때문이다. 1보다 더 작은 값을 사용할 만큼 충분한 직선을 가진 수로가 거의 없기 때문에 자연수로와 제형단면수로에서 최소값 $V_{ss}/V_{avg} = 1$ 이 권장된다.

홍수조절용 수로의 수리학적 설계(U.S. Army 1991a)로부터 사석보호공에 대하여 권장된 K_1 값은 표 2에 제시되어 있으며, 사석보호공의 안정실험에 근거한다(Maynard 1988). Carter, Carlson, 그리고 Lane의 관계(1953)는 사석보호공에 대하여 줄잡음(conservative)임을 알 수 있었다. 왜냐하면 보호공의 안식각이 일반적으로 통상 사용되는 40 보다 더 크기 때문이다. 표 2에 제시된 값들은 계비온-매트리스에 대하여 개략적으로 고려되지만 가장 이용가치가 있는 정보를 제공한다. Carter, Carlson, 그리고 Lane(1953)의 관계는 K_1 값을 정의하기 위해서는 사용될 수 있지만 계비온-매트리스 내 재료의 안식각은 알 수 없다.

계비온-매트리스와 느슨한 사석에 대하여 동일한 수로형상과 수리자료를 사용하면서 Simons et al.(1984)의 안정자료를 사용하면서 계산된 계비온-매트리스 두께와 이번에 제안된 진행과정은 홍수조절용 수로의 수리학적 설계(U.S. Army 1991a)에서 사용하는 과정과 사석등급(크기)으로 계산된 사석보호공 두께의 32%가 될 것이다. 이것은 Oswalt et al.(1975)과 잘 일치한다. 여기서, 계비온-매트리스는 느슨한 사석 두께의 1/3이며, 물리모형(physical model)에서 안정비교에 근거된 동일한 보호를 제공함을 알 수 있다.

표 3은 안정계수 $C_s = 0.1$ 과 안전율 $S_f = 1.1$ 을 식 (3)에 적용하여 일반적인 만곡수로와 직선수로구간에서 제한하는 평균수로유속을 제공한다.

3. 적용 및 분석

Simons et al.(1984)은 수로바닥 폭 12.2m; 하류 수심 3.05m; 사면경사 1V:2H; 석재단위중량

**표 3. 호안용 계비온 두께와 석재크기에 대한 평균유속
(1V:2H Side Slope, Angular Stone, and $\gamma_s = 2.643\text{kg/m}^3$)**

계비온두께 cm(1)	Limiting Average Channel Velocity		
	Toe depth = 1.52m(m/s)(2)	Toe depth = 3.05m(m/s)(3)	Toe depth = 6.10m(m/s)(4)
(a) 자연 수로 만곡(Natural Channel bend), R/W = 3			
15.2	2.1	2.2	2.4
22.9	2.4	2.6	2.8
30.5	2.7	2.9	3.1
45.7	3.2	3.4	3.7
(b) 직선수로(Straight Channel), $V_{ss} = V_{avg}^b$			
15.2	3.3	3.5	3.8
22.9	3.9	4.2	4.5
30.5	4.4	4.7	5.0
45.7	5.1	5.5	5.9

주 : D_m = 계비온-매트리스 두께의 1/2

*Depth at V_{ss} = 하류수심의 80%

^b수로바닥과 사면경사에 계비온-매트리스를 설치한 직선수로에서 설계자는 또한 수로바닥에 설치된 계비온-매트리스의 안정성을 검토해야 한다. 여기서, 수심-평균유속은 V_{avg} 보다 10~20% 더 크다.

$2,643\text{kg/m}^3$; 수로바닥경사 1%; 평균수로유속 (V_{avg}) 5.7m/sec 인 실례를 소개했다.

표 3은 두께 45.7cm를 가지는 계비온-매트리스는 평균수로유속 $V_{avg} = 5.49\text{m/s}$, 하류수심 3.05m을 가지는 직선수로에서 사면경사 1V:2H 사면경사에서 안정한 것을 보여준다. 이 두께는 5.7m/sec 의 평균수로 유속에 대하여 안정하기 위한 Simons et al.(1984)에 의해 알게 된 45.7cm와 동일하다. 계비온-매트리스 바스켓 내의 석재의 크기는 이번에 제안된 방법에서는 150mm~300mm가 된다. 이에 반하여 Simons et al.(1984)에서 45.7cm 계비온-매트리스는 100~200mm 석재가 사용되었다. Simons et al.(1984)는 100~200mm 석재들로 채워졌을 때 계비온-매트리스 변형이 9.1cm가 일어났다고 계산되었다. 이러한 석재이동과 변형의 총합은 계비온-매트리스의 저항을 변화시키며, 장기간 계비온-매트리스 철망 보전을 위해서는 권장되지 않는다. Simons et al.(1984)에 근거하면 모형실험들은 여기서 소개된 과정을 사용하면 채움석재 150~300mm 크기는 어떤 변형도 일어나지 않을 것으로 기대된다.

사석제방의 설계(Federal 1989)에서는 75~

150mm의 채움석재를 가지는 계비온-매트리스에 대해 제방경사, 최대유속, 제방 재료 종류별 함수로서의 계비온-매트리스 두께를 나타내는 표를 소개했다. 여기서 최대유속 6.1m/sec , 사면경사 1V:1H를 가지는 수로에서 제방 재료 종류 대하여 최소 계비온-매트리스 두께는 30.5cm가 요구된다. 이것은 여기서 제안된 방법보다 상당히 얇으며, Simons et al.(1984) 결과로 주어진다. 현저한 석재이동과 계비온-매트리스 변형은 5.7m/sec 와 100~200mm 채움석재에 대하여 Simons et al.(1984)에 의해서 제시된 결과에 근거한 채움석재 6.1m/sec 그리고 75~150mm로 기대된다.

U.S. Army Corps of Engineers(1991a) 사석설계 지침서를 이용하면 이번 예제에서 사석의 두께 1.37m를 사용하면 그 결과는 $V_{ss} = 5.49\text{m/sec}$ 이며 계비온-매트리스 두께는 소요사석두께의 1/3이 요구된다.

4. 결론

계비온-매트리스 내 채움석재의 크기를 결정하기 위한 설계과정이 소개되었으며, 이것은 미육군공병단

기술기사

의 사석설계 지침서와 동일한 방법인 수심-평균유속에 근거한다. 이것은 단면형상과 수로선형에 따라 계비온-매트리스 크기의 변화를 허용한다. 안정은 계비온-매트리스의 두께보다는 오히려 계비온-매트리스 내 석재의 크기에 바탕을 둔다. 다음에 제시된 부가적인 연구영역은 계비온-매트리스 내 채움석재의 크기를 결정하기 위하여 설계과정을 개선하고 보강하기 위하여 요구된다.

- 1) 안정계수 C_s 는 계비온-매트리스 내 채움은 등근 모양의 석재와 석재의 등급은 최대/최소 크기의 최대범위가 1.5~2.0배가 요구된다.
- 2) 계비온-매트리스 보호공이 설치된 수로바닥에

서 계비온-매트리스 보호공과 필터섬유(필터 fabric) 또는 입상여과(granular 필터) 사이의 경계면에서 유속을 결정하는 방법이 요구된다. 상술한 방법은 계비온-매트리스 내 채움석재의 등급과 계비온-매트리스의 두께 결정을 포함한다. 이것은 계비온-매트리스 철망두께가 2D^m 보다 더 크거나 조금 작은 것 둘 다의 사용을 허용하며, 이것은 보호되고 있는 수로제방 재료의 강도에 의하여 변한다.

- 3) 수로사면경사 보호용으로 계비온-매트리스의 설치후의 효과는 불안정한 요인들을 보다 안정하게 한다.

참고문헌

1. U.S. Army Corps of Engineers. (1991a). "Hydraulic design of flood control channels." Engr. Manual 1110-2-1601, U.S. Government Printing Ofc., Washington, D.C.
2. U.S. Army Corps of Engineers. (1991b). "Wire mesh gabions." Civ. Works Constr. Guide Specification CW-02541, 29 July 1991, U.S. Government Printing Ofc., Washington, D.C.
3. Sorensen, R.M. (1985). "Stepped spillway hydraulic model investigation." J. Hydr. Engng., ASCE, 111(12), 1461-1472.
4. Stephenson, D. (1979a). "Gabion energy dissipators." Q5R3, Proc., 13th ICOLD Congress, CIGB, Paris, France, 33-43.